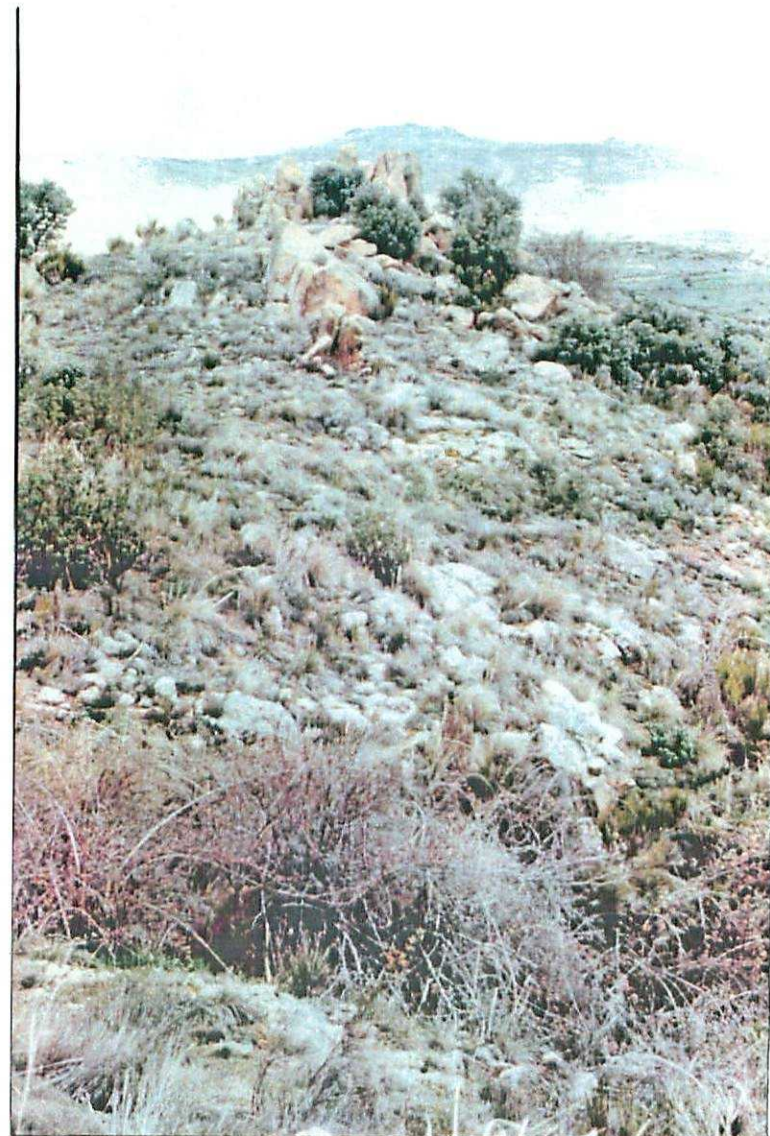
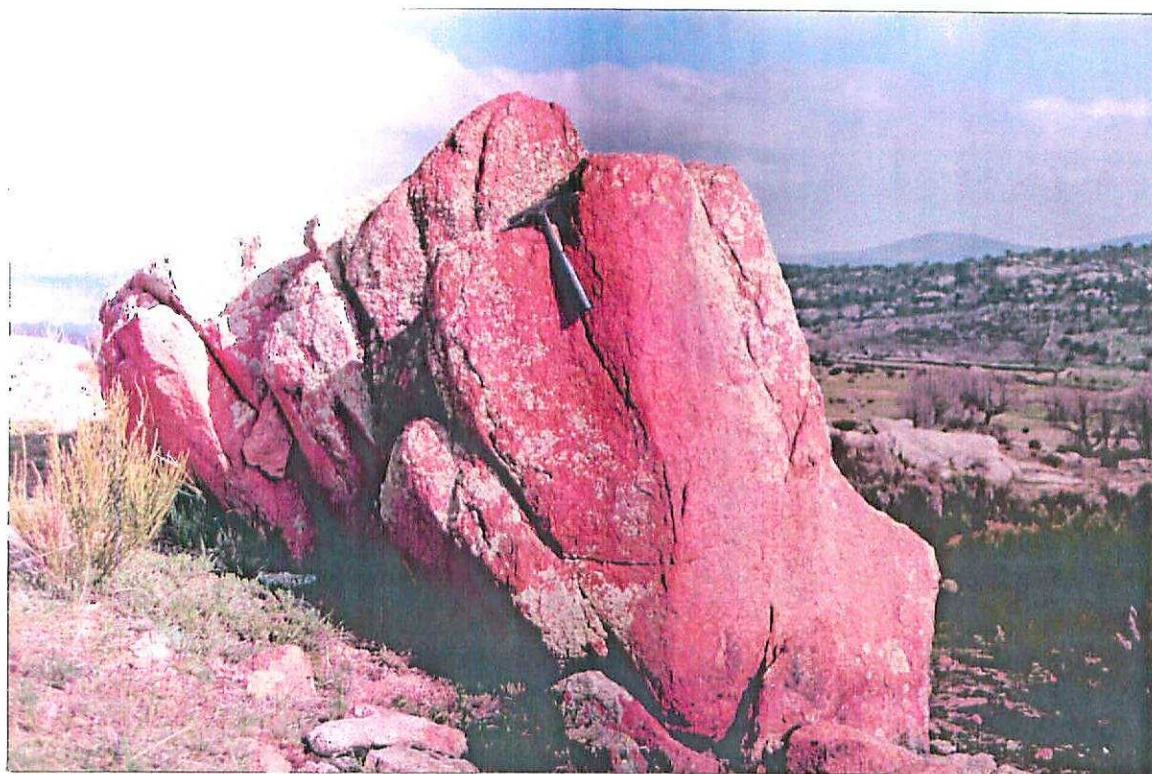




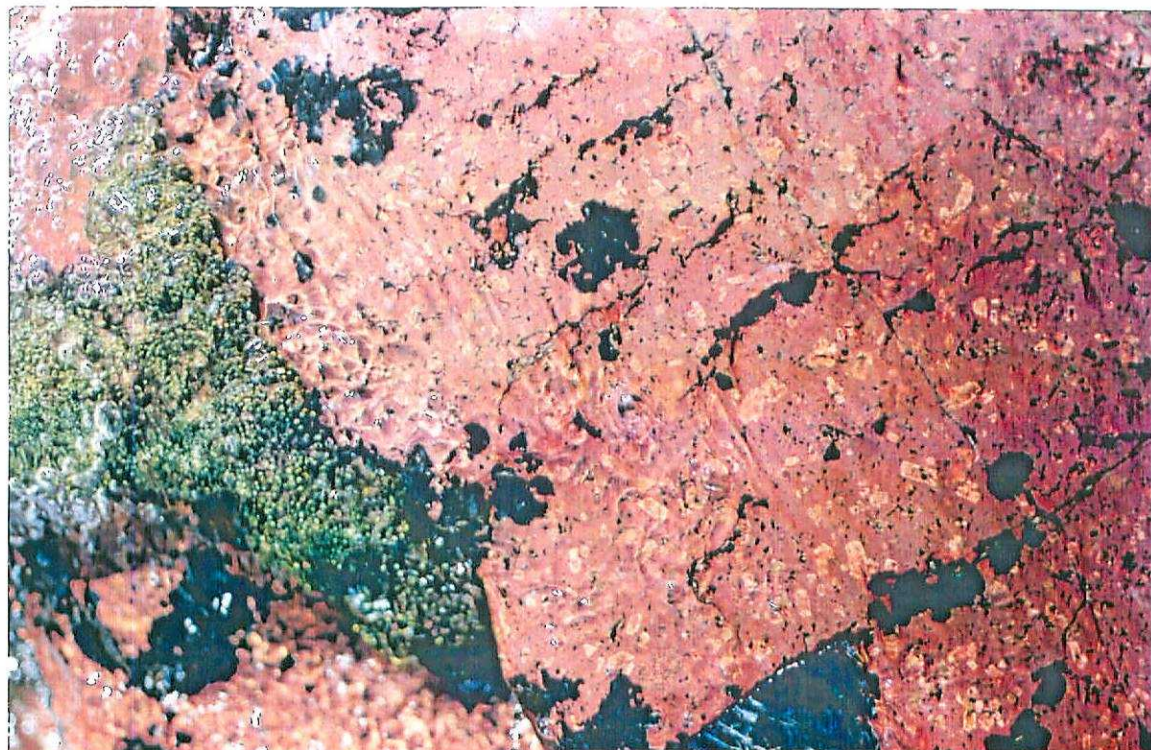
MS-9276. Dique de pórfido granítico del haz del N. de la Hoja.  
Proximidades de Valdecasa.



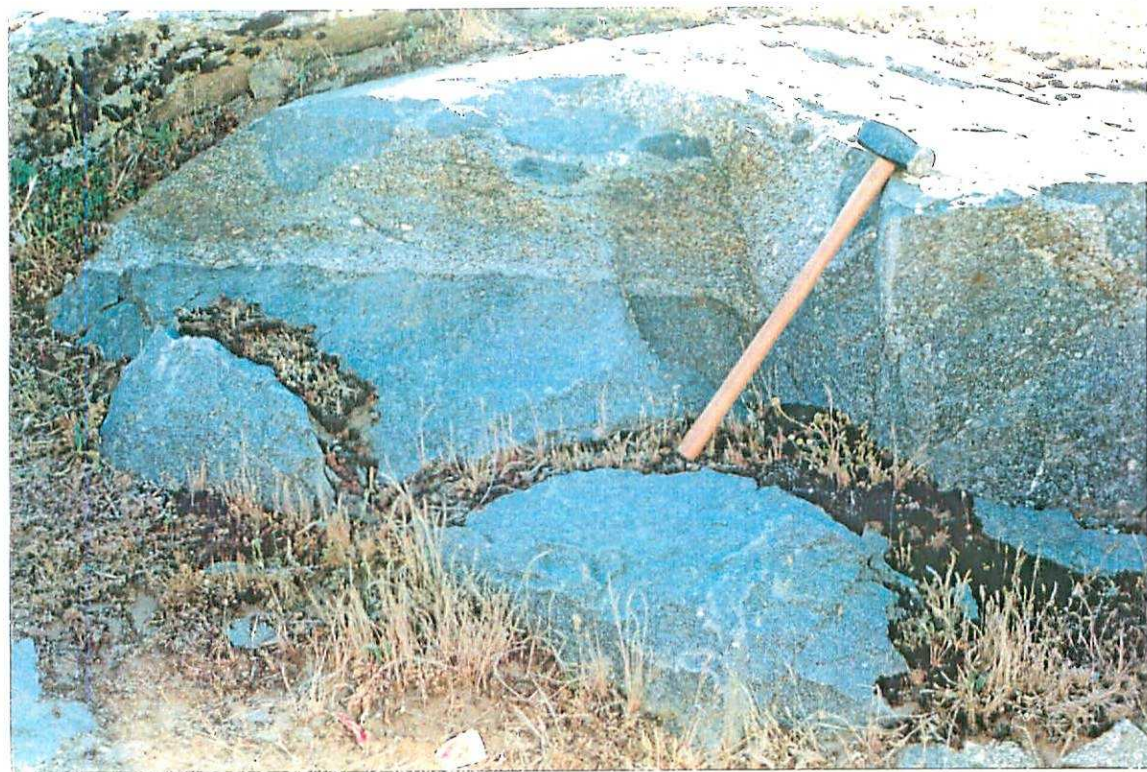
MP-9068. Dique de sienita de las Fuentes. Unos 3 Kms. al N. de Pascual Muñoz.



MS-9274. Dique de sienita al E. de San Juan del Olmo.



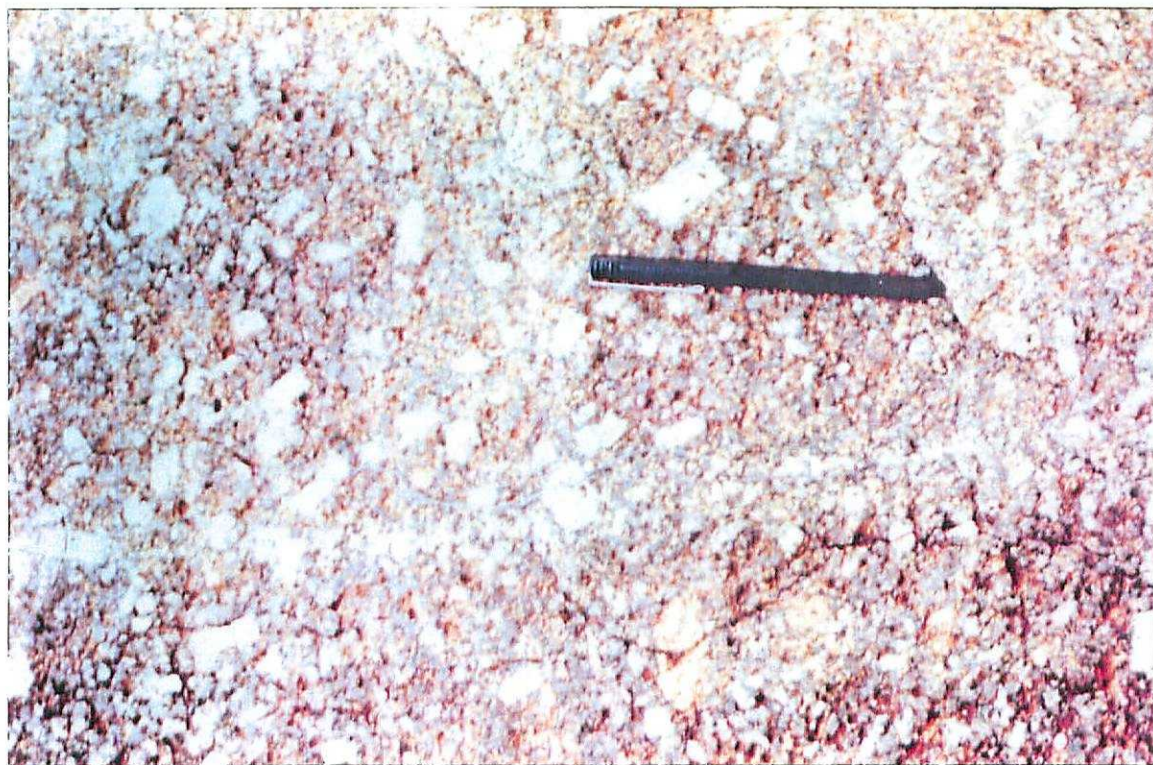
MS-9275. Dique de sienita anterior, 1 Km. más al N.



MP-9063. Enclaves de cuarzodioritas y tonalitas en adamellitas biotíticas porfídicas, pertenecientes a macizos intruidos por éstas de las mismas características que los enclaves. O. de Villanueva del Campillo.



MP-9064. Adamellita biotítica porfídica. Facies con alanita. Unos 2,5 Kms. al N. de Muñana.



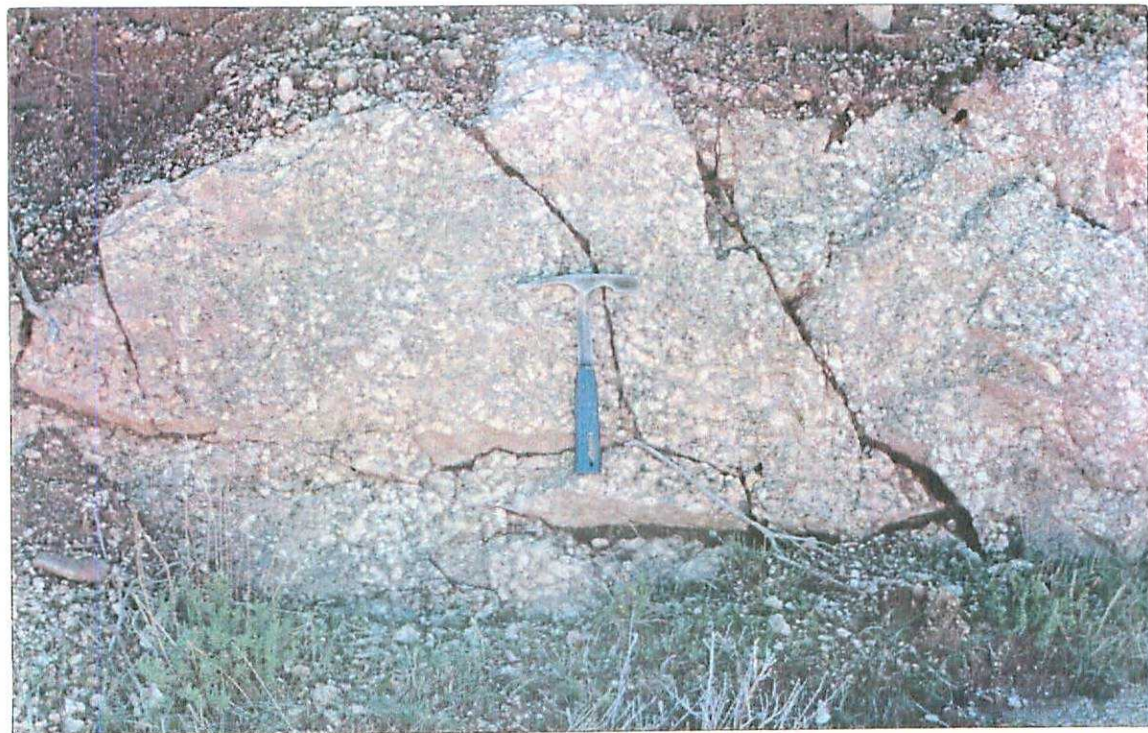
MP-9065. Adamellita biotítica porfídica. Facies con alanita.  
Unos 2,5 Kms. al SE. de San Juan del Olmo.



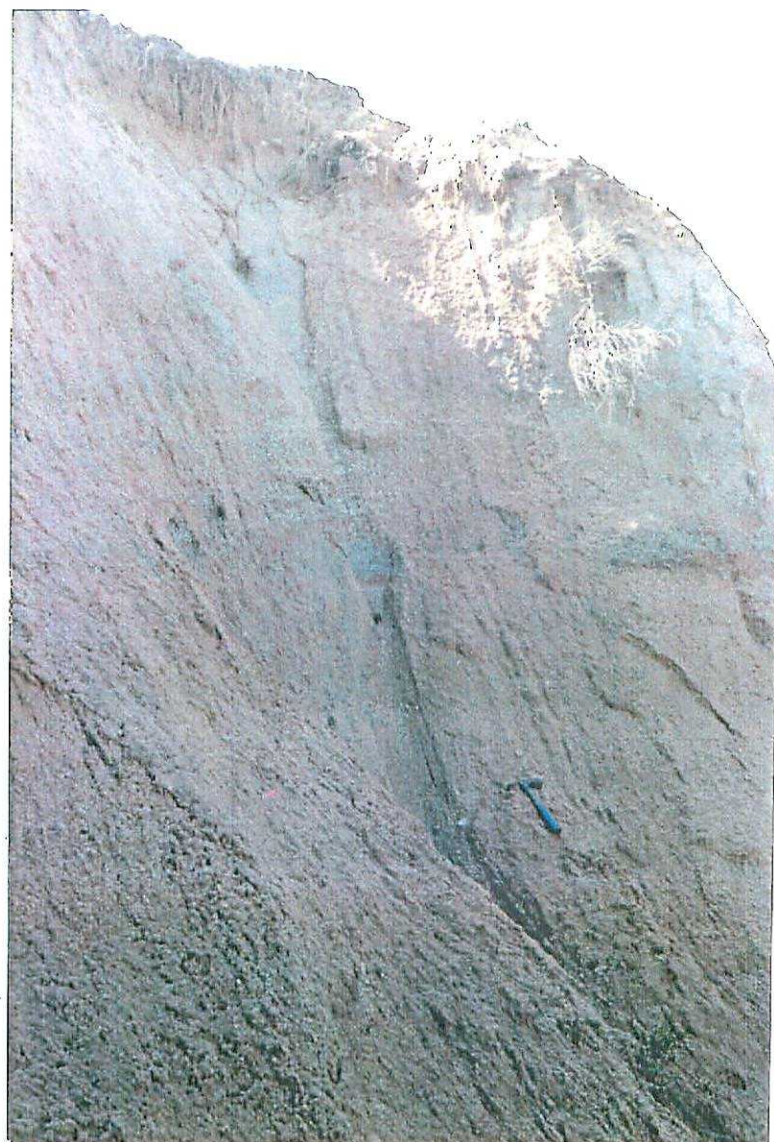
MS-9277. Adamellita biotítica porfidica. Facies con alanita.  
Alrededores de Valdecasa.



MP-9066. Leucogranito de grano grueso porfídico. Tipo Puerto de Villatoro. Carretera del Puerto de Villatoro a Villanueva del Campillo.



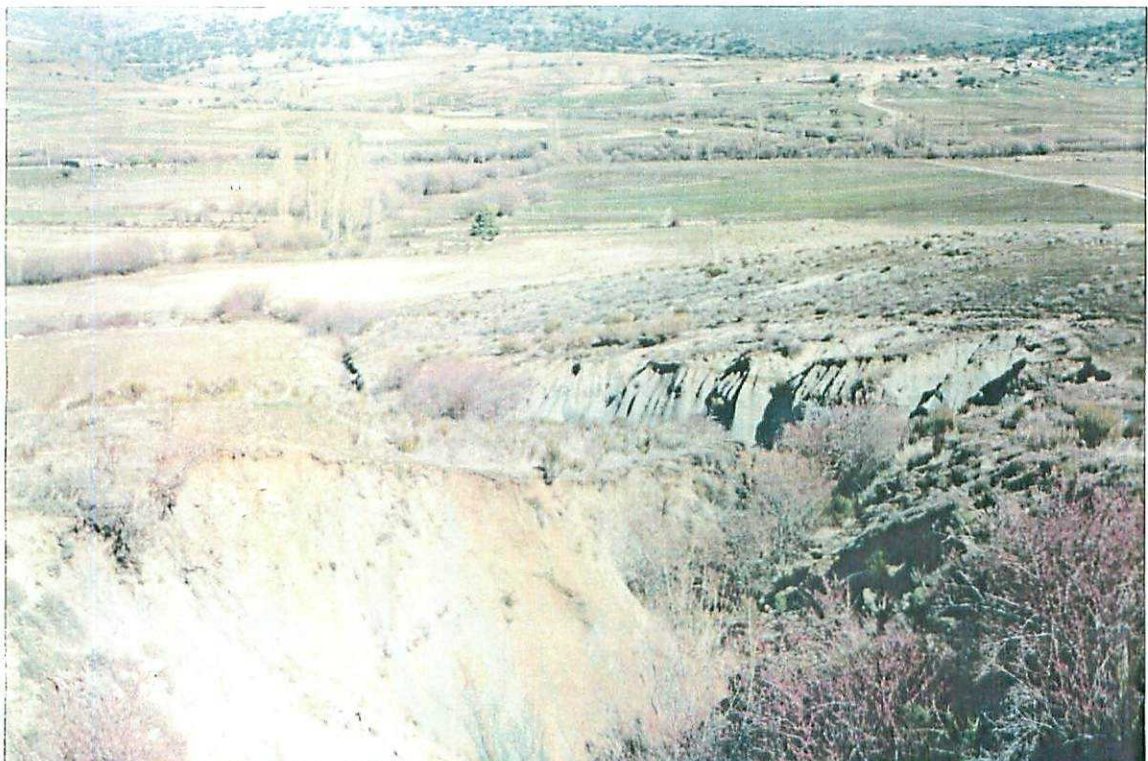
MP-9067. Leucogranitos de grano grueso con biotita porfídicos de tipo Puerto de Villatoro. Al S. de Palacio (Esquina SE. de la Hoja).



MS-9264. Afloramiento de la unidad cartográfica 16 al S. de Poveda. Colores de hidromorfismo típicos en esta zona.



MS-9265. Afloramiento de la unidad cartográfica 16 al s. de Poveda. Detalle. Nótese la mala selección y la poca madurez del sedimento.



MS-9266. Afloramiento de la misma unidad 16 al Oeste de Pradosegar. En primer término se encuentra la falla inversa que la limita con el basamento.



MS-9267. Afloramiento anterior, detalle de las proximidades a la falla.



MS-9268. Afloramiento anterior. Detalle de la organización de las arcosas y cantos.



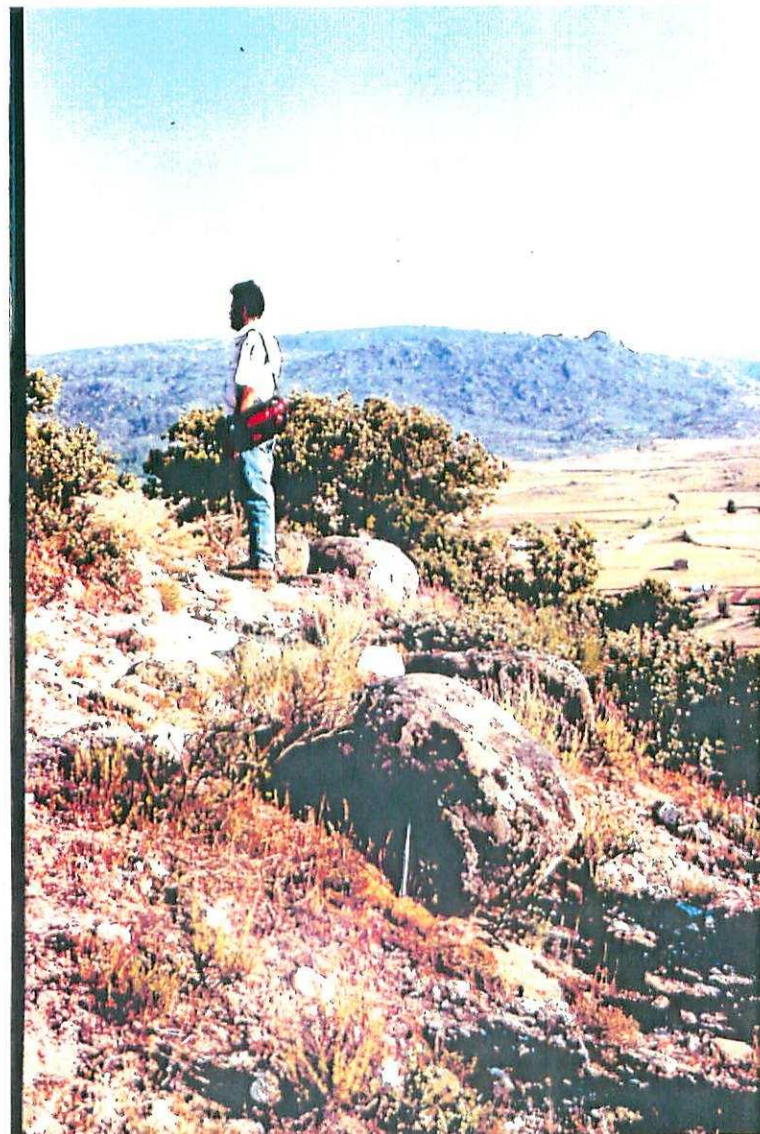
MP-9070. Arcosas de la unidad 16 en Muñotello.



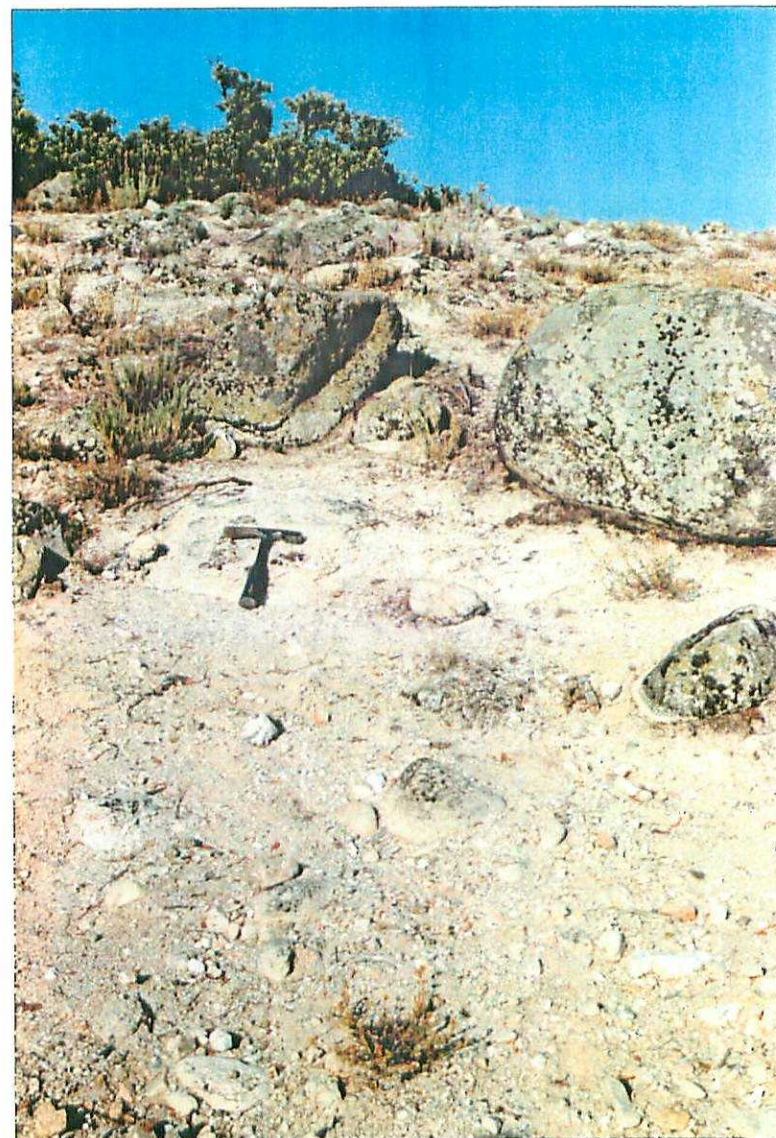
MS-9269. Afloramiento de la unidad 16 al o. de Guareña. Nótese el fuerte buzamiento de las capas.



MS-9271. Areniscas cementadas por carbonatos de la unidad 17. La inconformidad con las adamellitas queda resaltada por la erosión diferencial (más intensa sobre el zócalo). NE. de la Hoja, Padiernos.



MS-9272. Aspecto general de los depósitos de grandes bloques de la unidad 19, en la cima del Cerro Barbas (Balbarda).



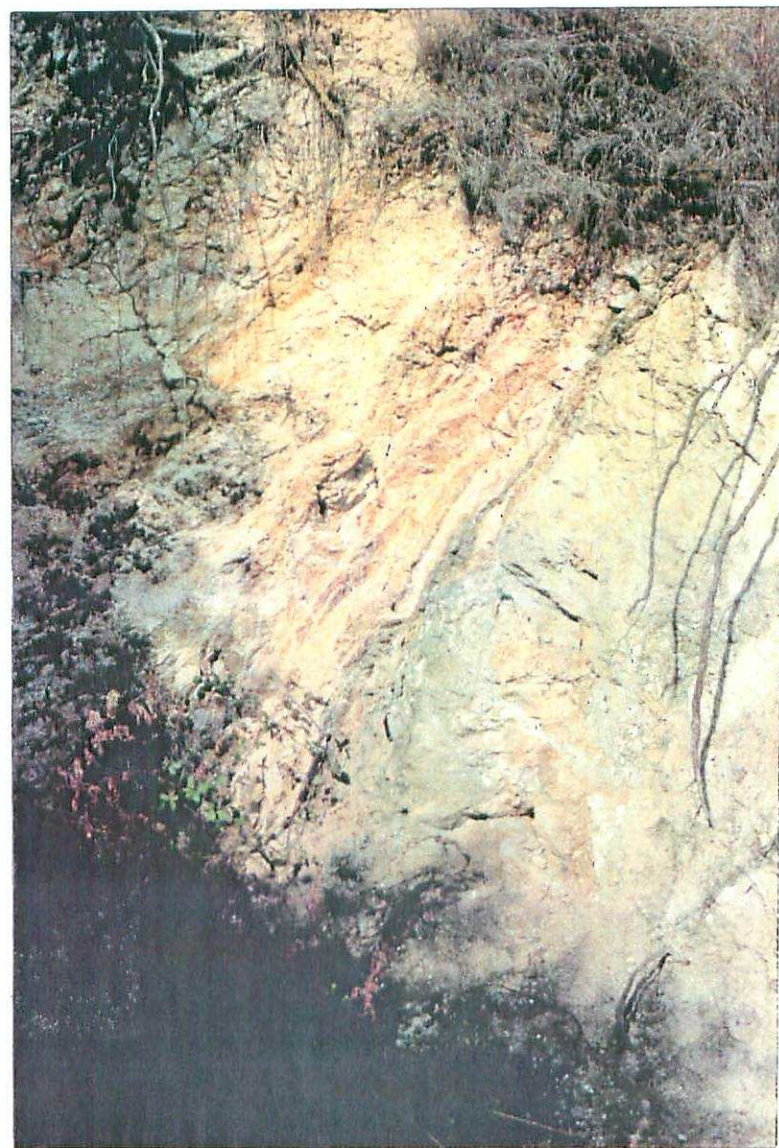
MP-9071. Idem anterior. Detalle.



MS-9273. Aspecto de césped almohadillado asociado a manantiales (unidad 24). NE. de la Hoja.



MP-9069. Deformación de cizalla dúctil-frágil tardihercínica subvertical con formación de estructuras S/C, afectando a adamélita biotítica porfidica. Los planos C son estrechas bandas miloníticas paralelas a la escala. Sentido de movimiento dextral (NE. en el borde derecho de la fotografía). Situada al SO. de Narros del Puerto.



MS-9270. Aspecto típico de la falla inversa que pone en contacto el basamento (izquierda) con el terciario (derecha) entre Sta. M<sup>a</sup> del Arroyo y Guareña.





